



**UNIVERSIDADE FEDERAL
DE SANTA CATARINA**

CENTRO TECNOLÓGICO
DEPARTAMENTO DE ENGENHARIA MECÂNICA

EMC 5412 – TRANSFERÊNCIA DE CALOR E
MECÂNICA DOS FLUIDOS COMPUTACIONAL

PROFESSOR ANTONIO FABIO CARVALHO DA SILVA

Trabalho 2

Formulação Explícita da Condução Transiente

GUILHERME GWADERA

FLORIANÓPOLIS, 23 DE AGOSTO DE 2018

1 Introdução

Este segundo problema proposto consiste de uma parede com espessura $L = 0,2\text{ m}$ inicialmente a uma temperatura $T_i = 25^\circ\text{C}$, sendo aquecida em sua superfície direita por um ambiente a $T_\infty = 200^\circ\text{C}$ e coeficiente convectivo h , enquanto a superfície esquerda está isolada termicamente. É pedido o perfil de temperatura ao longo do tempo, e como o mesmo varia com a malha e o passo de tempo utilizado para a resolução numérica. A Figura 1 ilustra o problema, representando esquematicamente como foi feito o posicionamento dos volumes de controle, com N pontos igualmente espaçados em uma distância Δx .

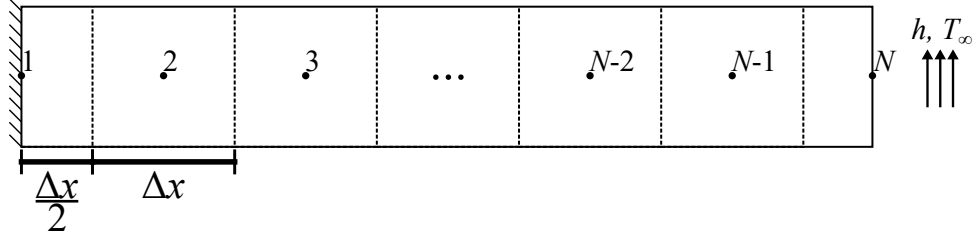


Figura 1: Representação esquemática do problema e dos volumes de controle.

Fazendo um balanço de energia no sistema em questão, encontra-se a Equação 1, sendo a condição inicial dada pela Equação 2, e as condições de contorno dadas pelas Equações 3 e 4.

$$\frac{\partial^2 T}{\partial x^2} = \frac{\rho c_p}{k} \frac{\partial T}{\partial t} \quad (1)$$

$$T(x, t = 0) = 25^\circ\text{C} \quad (2)$$

$$\frac{\partial T}{\partial x}(x = 0, t) = 0 \quad (3)$$

$$-k \frac{\partial T}{\partial x}(x = L, t) = h(T_\infty - T) \quad (4)$$

Onde o coeficiente convectivo h é um valor tal que $\text{Bi} = 1,3$. Logo, o valor de h pode ser calculado como:

$$\text{Bi} = \frac{hL}{k} \quad \therefore \quad h = \frac{1,3 \cdot 1}{0,2} = 6,5 \frac{\text{W}}{\text{m}^2 \cdot \text{K}}$$

Fazendo a discretização da Equação 1 pelo método dos volumes finitos, utilizando a formulação explícita para a discretização no tempo ($f = 0$), a equação algébrica para os pontos nos volumes interiores (de 2 a $N - 1$) é dada pelas equações abaixo, onde j é a posição no tempo e i é a posição no espaço.

$$\begin{aligned} a_p T_P &= a_e T_E^0 + a_w T_W^0 + (a_p^0 - a_e - a_w) T_P^0 \\ a_p T_i^{j+1} &= a_e T_{i+1}^j + a_w T_{i-1}^j + (a_p^0 - a_e - a_w) T_i^j \end{aligned} \quad (5)$$

Nas quais a_p^0, a_p, a_e e a_w são dados pelas equações abaixo, considerando que a condutividade térmica é uniforme e a área da superfície é unitária:

$$a_p^0 = a_p = \frac{\rho c_p \Delta x}{\Delta t}$$

$$a_e = a_w = \frac{k}{\Delta x}$$

Para a superfície esquerda isolada termicamente, a condição de contorno implica em $a_w = 0$, e o volume possui metade da espessura, de forma que a equação algébrica resultante é:

$$\left(\frac{a_p}{2}\right) T_P = a_e T_E^0 + \left(\frac{a_p^0}{2} - a_e\right) T_P^0$$

$$\left(\frac{a_p}{2}\right) T_1^{j+1} = a_e T_2^j + \left(\frac{a_p^0}{2} - a_e\right) T_1^j \quad (6)$$

Para a superfície do lado direito com a condição de contorno convectiva, pode-se assumir um falso coeficiente $a_e = h$, considerando área superficial unitária, associado a temperatura $T_E = T_\infty$, resultando em:

$$\left(\frac{a_p}{2}\right) T_P = a_w T_W^0 + \left(\frac{a_p^0}{2} - a_w - h\right) T_P^0 + h T_\infty$$

$$\left(\frac{a_p}{2}\right) T_N^{j+1} = a_w T_{N-1}^j + \left(\frac{a_p^0}{2} - a_w - h\right) T_N^j + h T_\infty \quad (7)$$

Com a equação diferencial então discretizada (Equações 5, 6 e 7), o processo de cálculo se realiza pela marcha no tempo. Os passos de espaço e tempo necessários para a resolução numérica foram calculados de acordo com as Equações 8 e 9, respectivamente, considerando o intervalo de estabilidade numérica para o passo de tempo. Para padronizar os resultados em diferentes números de volumes e passos de tempo, foi estabelecido um tempo final de 100 horas.

$$\Delta x = \frac{L}{N-1} \quad (8)$$

$$\Delta t \leq \frac{\rho c_p \Delta x^2}{2k} \quad (9)$$

2 Resultados

Para uma primeira análise, a resolução das equações foram feitas com 10 volumes de controles ($N = 10$), resultando em um $\Delta x = 0,0222$ m e $\Delta t = 666,67$ s. Os perfis de temperatura nos tempos de 25 h, 50 h, 75 h e 100 h encontrados para esta situação estão apresentados na 2. Os resultados obtidos seguem o comportamento esperado do sistema, no qual a temperatura da superfície direita eleva-se ao longo do tempo devido a temperatura ambiente, fazendo com que exista um fluxo de calor em direção à superfície isolada, onde há o acúmulo de calor.

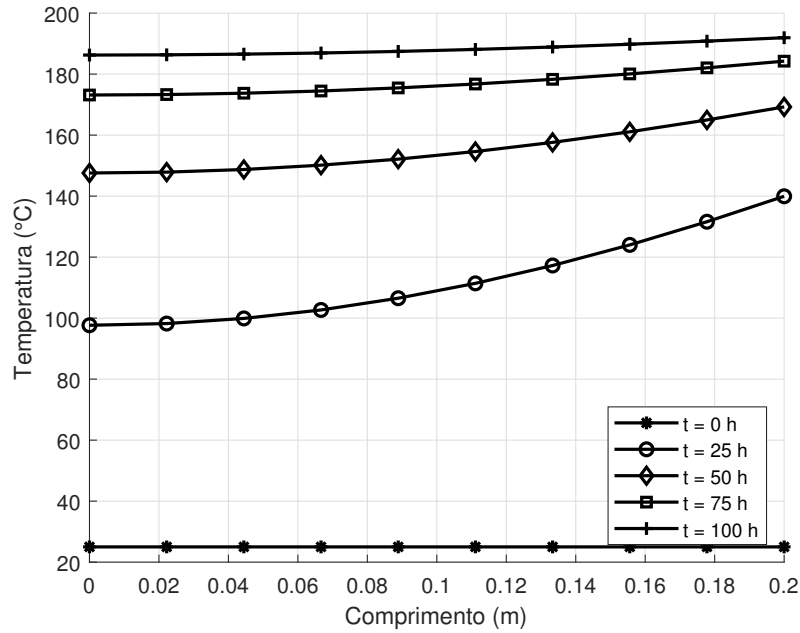
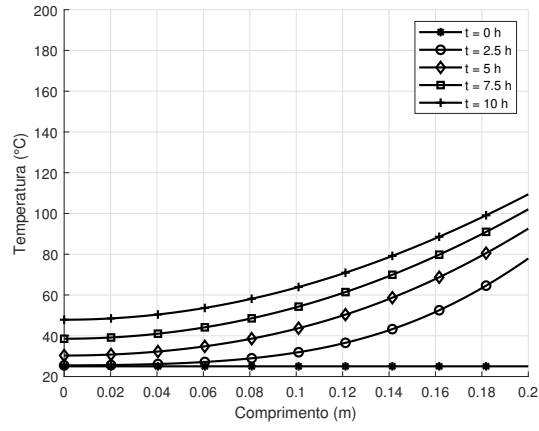


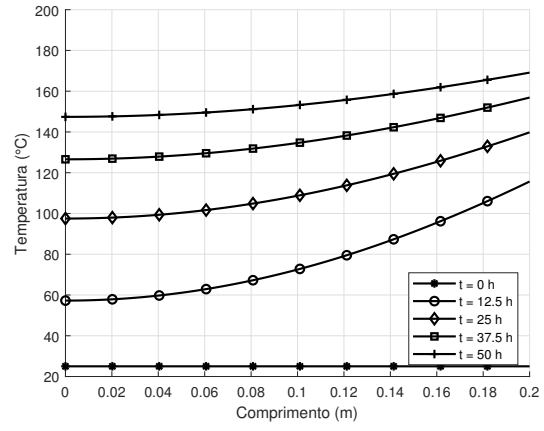
Figura 2: Perfis de temperatura para $N = 10$.

Como o coeficiente convectivo é da ordem de convecção natural, o aquecimento da parede é bastante demorado, visto que para as 100 horas utilizadas como tempo final, o sistema ainda não atinge o estado estacionário. Considerando um tempo final de 200 horas, a temperatura do ponto na superfície esquerda atinge $199,05^\circ\text{C}$, o que significa que a solução está ainda se aproximando do estado estacionário. Para um tempo final de 500 horas, a temperatura T_1 é de $199,9997^\circ\text{C}$, ou seja, é aproximadamente 200°C , podendo-se dizer que o estado estacionário já foi atingido.

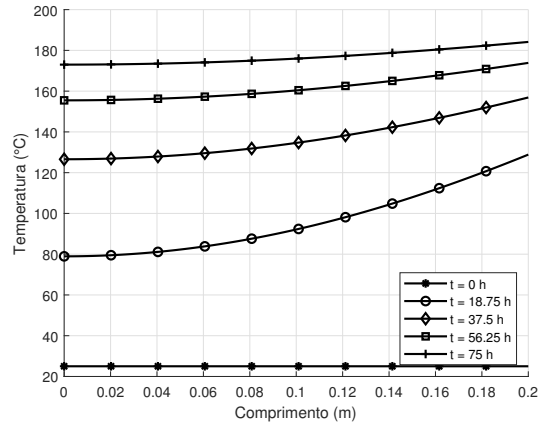
Para avaliar o efeito do refinamento da malha, o número de volumes de controle foi aumentado, visando comparar os passos de espaço e de tempo necessários, como também os valores finais de T_1 e T_N (primeiro e último pontos). Para isto, o problema foi resolvido utilizando 10, 50, 100, 200 e 500 volumes. Os resultados estão sumarizados na Tabela 1. Nota-se que o número de pontos utilizados na malha não possui tanta influência nos resultados numéricos, já que as diferenças nas temperaturas são ínfimas. No entanto, para um número maior de volumes, o Δx , e consequentemente Δt , começam a ficar muito pequenos, aumentando o requerimento computacional para os cálculos. Logo, para este caso em específico, não há a necessidade do refinamento da malha para obter resultados mais próximos do exato.



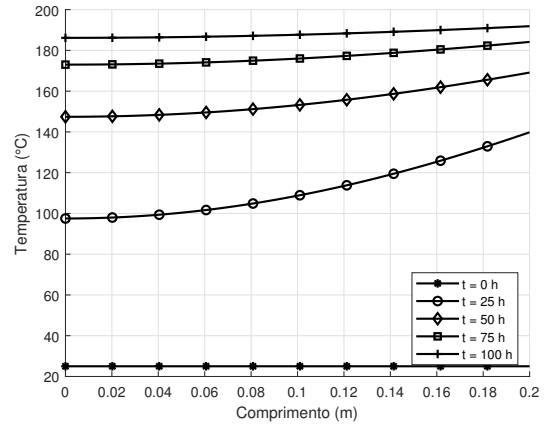
(a)



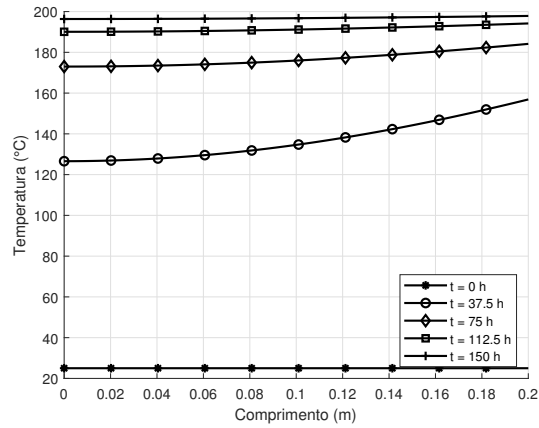
(b)



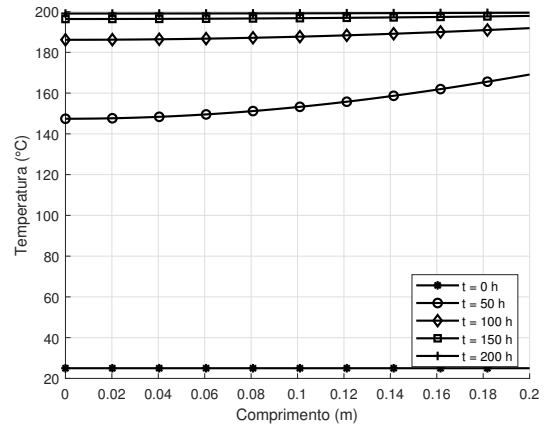
(c)



(d)



(e)



(f)

Figura 3: Perfis de temperatura para $N = 100$ e tempos finais de (a) 10 h, (b) 50 h, (c) 75 h, (d) 100 h, (e) 150 h e (f) 200 h.

N	Δx (m)	Δt (s)	T_1 (°C)	T_N (°C)
10	0,02222	666,66667	186,24680	191,93008
50	0,00408	22,49063	186,15188	191,86811
100	0,00202	5,50964	186,15096	191,86740
200	0,00101	1,36360	186,15027	191,86696
500	0,00040	0,21687	186,15018	191,86689

Tabela 1: Resultados do estudo de malha.

Como a solução exata para o problema não foi obtida, uma alternativa que pode ser utilizada é a validação numérica, com algum *software* já testado exhaustivamente para verificar se fornece resultados corretos. Para tal, foi utilizado o *software* COMSOL Multiphysics para resolver o mesmo problema e comparar os resultados, utilizando as mesmas condições do problema proposto. A Figura 4 mostra a diferença nos valores da temperatura em 100 horas, usando o código de MATLAB deste trabalho e o *software* COMSOL, e mesmo número de elementos na malha em ambos ($N = 100$). Pode-se observar que a diferença entre os valores é baixa, estando na segunda casa decimal. Portanto, conclui-se que os resultados obtidos neste trabalho estão próximos do correto.

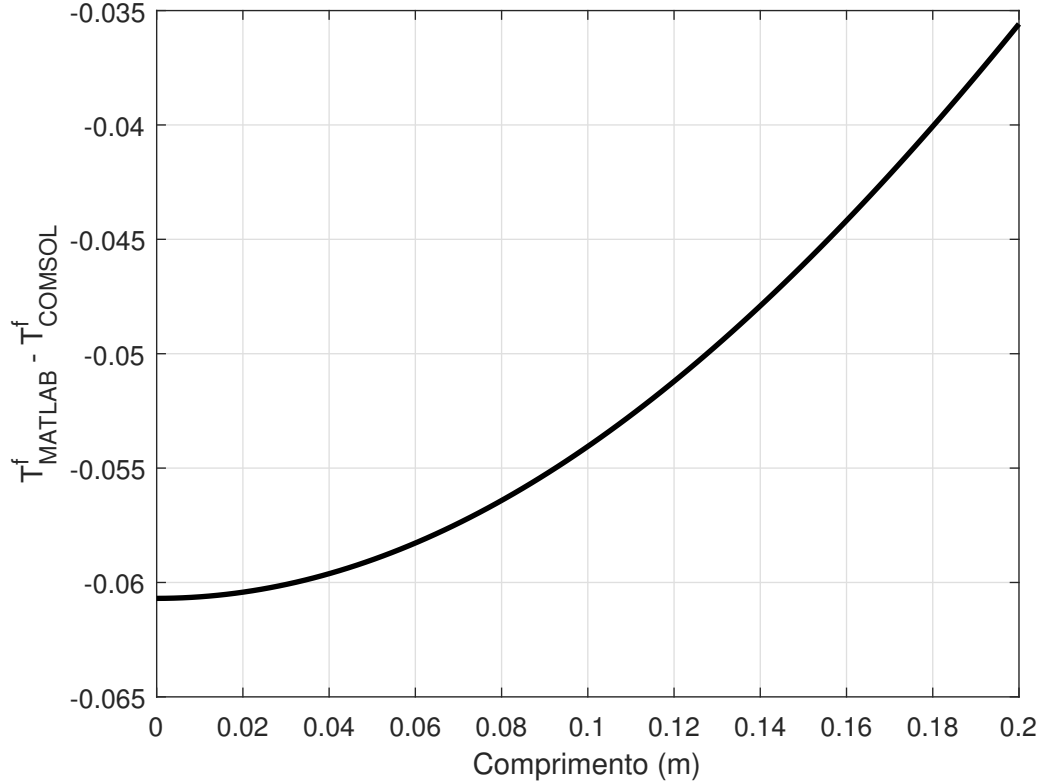


Figura 4: Validação numérica dos resultados.

3 Conclusão

Neste trabalho foi implementado o código para a resolução numérica de um problema de condução transiente, por meio do métodos dos volumes finitos, com a formulação explícita para o tempo. Os perfis de temperatura obtidos estavam de acordo com o esperado, no qual o aquecimento ocorria da superfície em contato com o ambiente aquecido em direção a superfície isolada. Foi observado que o número de volumes utilizados para os cálculos não possui tanta influência nos resultados. O código foi validado numericamente por comparação com outro *software*, onde foi observado coerência entre os resultados de ambos.

4 Código

```
1 %% Parâmetros e Constantes
2
3 k = 1; % Condutividade - W/(m*K)
4 cp = 1000; % Calor específico - J/(kg*K)
5 rho = 3000; % Massa específica - kg/m^3
6 L = 0.2; % Comprimento - m
7 Bi = 1.3; % Número de Biot
8 h = Bi * k / L; % Coeficiente convectivo - W/(m^2*K)
9 T_inf = 200; % Temperatura do fluido - °C
10 Ti = 25; % Temperatura inicial - °C
11 tf = 100 * 3600; % Tempo final - s
12 N = 20; % Número de volumes
13 dx = L / (N - 1); % Espessura dos volumes - m
14 dt = 0.45 * dx^2 * rho * cp / k; % Passo de tempo - s
15 x = 0:dx:L; % Posições dos pontos
16 t = 0:dt:tf; % Tempos
17
18 %% Resolução
19
20 T = ones(length(t), N) .* Ti; % Matriz de temperaturas
21 a = k / dx; % Coeficientes aw e ae
22 ap = rho * cp * dx / dt; % Coeficiente ap e ap_0
23
24 % Cálculo do perfil de T pela marcha no tempo
25 for j = 1:length(t)-1
26     % Temperatura na superfície esquerda
27     T(j+1, 1) = (a * T(j, 2) + (ap/2 - a) * T(j, 1)) / (ap/2);
28
29     % Temperaturas no interior
30     for i = 2:N-1
31         T(j+1, i) = (a * (T(j, i-1) + T(j, i+1)) + ...
32                     (ap - 2 * a) * T(j, i)) / ap;
33     end
34
35     % Temperatura na superfície direita
36     T(j+1, N) = (a * T(j, N-1) + (ap/2 - h - a) * ...
37                 T(j, N) + h * T_inf) / (ap/2);
38 end
```